

1.5 V89

مجتمع علوم
دانشکده فیزیک

پایان نامه
برای دریافت درجه کارشناسی ارشد فیزیک حالت جامد

موضوع:

بررسی مدهای سطحی به روش طیف سنجی ATR
در چاه کوانتمی چندتایی $In_xGa_{1-x}N/GaN$ آلائیده
در ناحیه فروسرخ دور

استاد راهنما:

دکتر غضنفر میرجلیلی

استاد مشاور:

دکتر حسین مختاری

پژوهش و نگارش:

مصطفی پورمند

۱۳۸۶/۱۱/۲۸

زمستان ۱۳۸۵

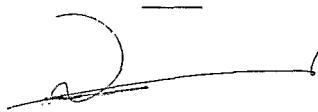
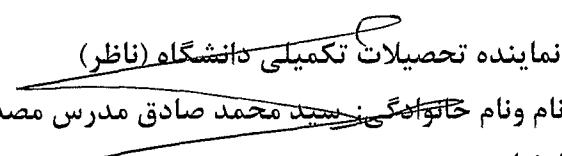
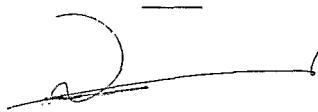
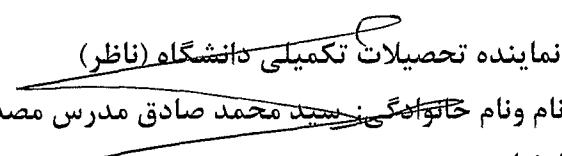
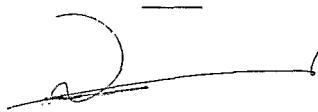
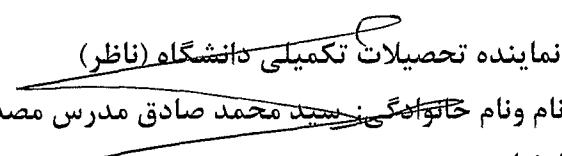
۱۰۴۷۰۷

این پایان نامه را به
دختر عزیزم
تقدیم می کنم .

تشکر و قدردانی

منت خدای را ، عز و جل ، که طاعتش موجب قربت است و به شکراندرش مزید نعمت .
از استاد ارجمند و گرانقدر جناب آقای دکتر میرجلیلی که راهبری و هدایت ایشان مرا در اتمام
پروژ پاری نمود کمال سپاسگزاری را دارم .
از استاد ارجمند جناب آقای دکتر مختاری که از مشاوره ایشان در انجام پروژه بهره مند شدم ،
سپاسگزارم .
از اساتید گرانقدر جناب آقای دکتر مجلس آرا و جناب آقای دکتر صادق زاده که داوری این پایان
نامه را پذیرفته و جناب آقای دکتر مدرس نماینده محترم تحصیلات تکمیلی سپاسگزارم .

بسمه تعالی

شناسه: ب/ک ۳۲	صورتجلسه دفاعیه پایان نامه دانشجوی دوره کارشناسی ارشد	 مدیریت تحصیلات تکمیلی																		
<p>جلسه دفاعیه پایان نامه تحصیلی آقای / خانم: مصطفی پورمند رشته / گرایش: فیزیک حالت جامد تحت عنوان: بررسی مدهای سطحی به روش طیف سنجی ATR در چاه کوانتوسی چند تایی $In_xGa_{1-x}N/GaN$ آلائیده در ناحیه فرو سرخ دور و تعداد واحد: ۶ در تاریخ ۱۳۸۵/۱۱/۸ باحضور اعضای هیأت داوران (به شرح ذیل) تشکیل گردید. پس از ارزیابی توسط هیأت داوران، پایان نامه با نمره: به عدد ۱۹/۵ به حروف نوزده و نیم و درجه عالی مورد تصویب قرار گرفت.</p> <table><thead><tr><th>عنوان</th><th>نام و نام خانوادگی</th><th>امضاء</th></tr></thead><tbody><tr><td>استاد / استادان راهنمای</td><td>غضنفر میرجلیلی</td><td></td></tr><tr><td>استاد / استادان مشاور:</td><td>حسین مختاری</td><td></td></tr><tr><td>متخصص و صاحب نظر داخلی:</td><td>محمد علی صادق زاده</td><td></td></tr><tr><td>متخصص و صاحب نظر خارجی:</td><td>محمد حسین مجلس آرا</td><td></td></tr><tr><td>امضاء:</td><td>نماينده تحصيلات تكميلي دانشگاه (ناظر)</td><td></td></tr></tbody></table>			عنوان	نام و نام خانوادگی	امضاء	استاد / استادان راهنمای	غضنفر میرجلیلی		استاد / استادان مشاور:	حسین مختاری		متخصص و صاحب نظر داخلی:	محمد علی صادق زاده		متخصص و صاحب نظر خارجی:	محمد حسین مجلس آرا		امضاء:	نماينده تحصيلات تكميلي دانشگاه (ناظر)	
عنوان	نام و نام خانوادگی	امضاء																		
استاد / استادان راهنمای	غضنفر میرجلیلی																			
استاد / استادان مشاور:	حسین مختاری																			
متخصص و صاحب نظر داخلی:	محمد علی صادق زاده																			
متخصص و صاحب نظر خارجی:	محمد حسین مجلس آرا																			
امضاء:	نماينده تحصيلات تكميلي دانشگاه (ناظر)																			

«فهرست مطالب»

صفحه

عنوان

فصل اول: ارتعاشات شبکه و بر هم کنش امواج الکترومغناطیسی طول موج بلند با نیمرسانا

۲

مقدمه

۳

۱- ارتعاشات شبکه یک بعدی با دو اتم در یاخته بسیط

۹

۲- کوانتش ارتعاشات شبکه

۱۰

۳- مدهای نرمال شبکه سه بعدی با پایه چند اتمی

۱۲

۴- تابع دی الکتریک

۱۵

۱-۴-۱. تابع دی الکتریک ناشی از بارهای الکتریکی

۱۸

۱-۴-۲. تابع دی الکتریک ناشی از ارتعاش یونها در بلورهای یونی

۲۴

۱-۵. پلاریتون های کپه ای

فصل دوم: انتشار موج الکترومغناطیسی قطبیده در محیط تک محوری و چاه های کوانتمی

۲۸

مقدمه

۲۸

۱-۲ . مفهوم محیط تک محوری

۲۹	۲-۲. معادلات پاشندگی امواج الکترومغناطیسی قطبیده در محیط تک محوری
۳۳	۳-۲. چاه های کوانتمی
۳۴	۱-۳-۲. چاه کوانتمی منفرد
۳۷	۲-۳-۲. چاه های کوانتمی چندتایی
۳۹	۴-۲. ابرشبکه ها
۴۲	۵-۲. مفهوم محیط مؤثر از ابرشبکه ها
۴۶	۶-۲.تابع دی الکتریک ابرشبکه های پریود کوتاه

فصل سوم: مدهای سطحی و طیف سنجی ATR

۴۹	مقدمه
۴۹	۳-۱. پلاسمون سطحی
۵۱	۳-۱-۱. شرایط ایجاد مد پلاسمای سطحی
۵۳	۳-۱-۲. معادله پاشندگی پلاسمون سطحی
۵۴	۳-۲. پلاریتون سطحی
۵۵	۳-۲-۱. شرایط ایجاد مد پلاریتون سطحی

۵۸	۲-۲-۲. رابطه پاشندگی پلاریتون سطحی
۵۹	۳-۳. برانگیزش نوری مدهای سطحی و طیف سنجی ATR
۶۰	۱-۳-۳. طیف سنجی تبدیل فوریه
۶۳	۱-۱-۳-۳. طیف سنجی <i>DFTS</i>
۶۴	۲-۱-۳-۳. طیف سنجی <i>ATR</i>
۶۷	۳-۴. امواج گذرا در بازتاب داخلی
۷۰	۵-۳. مدهای موجبر
۷۴	۶-۳. محاسبات تئوری <i>ATR</i>
۸۱	۳-۷. مدهای بروستر
فصل چهارم: بررسی مدهای سطحی آلیاژ $In_xGa_{1-x}N$ و چاه های کوانتمی چندتایی $In_xGa_{1-x}N/GaN$	
۸۷	مقدمه
۸۸	۴-۱. مدهای سطحی <i>GaN</i>

۱۰۵	$In_x Ga_{1-x} N$	۴-۲. مدهای سطحی
۱۲۱	$In_x Ga_{1-x} N/GaN$	۴-۳. مدهای سطحی چاه های کوانتمی چندتایی
۱۴۲		۴-۴. نتیجه گیری کلی
۱۴۵		۴-۵. مقاله های استخراج شده از این پایان نامه
۱۴۶		۴-۶. برنامه های کامپیوتری
۱۵۶		چکیده
۱۵۷		منابع

چکیده

در این پایان نامه ، مدهای پلاریتون سطحی و مد موجبر برای آلیاژ سه تایی $In_xGa_{1-x}N$ و چاه های کوانتمی چندتایی $In_xGa_{1-x}N/GaN$ با ساختارهای مکعبی در ناحیه فروسرخ دور با استفاده از طیف انعکاسی ATR تابش مایل قطبیده به صورت تئوری بررسی شده اند . طیف انعکاسی ATR نمونه ها با استفاده از تئوری استاندارد اپتیک چندین لایه ایها رسم شده است .

به دلیل عدم رشد مناسب آلیاژ سه تایی و چاه های کوانتمی چندتایی و عدم وجود داده های تجربی برای مشخصه های اپتیکی آنها ، در این بررسی برای رسم طیف بازتابندگی ، تابع دی الکتریک به صورت یک تابع دی الکتریک خطی ، آلیاژ سه تایی یک ساختار همسانگرد و چاه های کوانتمی چندتایی یک ساختار تک محوری فرض شدند . برای مؤلفه های تائسور دی الکتریک ساختار چاه های کوانتمی چندتایی از تقریب محیط مؤثر استفاده شده است .

اثر آلائیدگی ، تغییر درصد مولی ترکیبات در آلیاژ و چاه های کوانتمی چندتایی ، ضخامت روایه ها و ضخامت سد و چاه روی طیف بازتابندگی بررسی شده اند . جابجایی مدهای سطحی در اثر این عوامل ابزار مناسبی برای تعیین مقدار بار آزاد در چاه و سد می باشند . همچنین این جابجایی ها ابزار مناسبی برای تعیین مقدار In و Ga در ساختار آلیاژ سه تایی و چاه های کوانتمی چندتایی می باشند .

فصل اول

ارتعاشات شبکه و بر هم کنش امواج
الکترومغناطیسی طول موج بلند با
نیمرسانا

بر هم کنش موج الکترومغناطیسی با یک جامد به صورت میکروسکوپی یا ماکروسکوپی بررسی می شود . برای امواج فروسرخ ، چونکه انرژی فوتون آنها ، خیلی کوچکتر از انرژی جنبشی الکترونها و یونها در جسم جامد می باشد ، بررسی ماکروسکوپی کفایت می کند . برای بررسی بر هم کنش ماکروسکوپی موج الکترومغناطیسی با جامد ، اساس کار معادلات ماسکول می باشد .

بر هم کنش موج الکترومغناطیسی با جامد از طریق تابع دی الکتریک وابسته به فرکانس توضیح داده می شود . بنابراین تابع دی الکتریک $(\vec{K}, \omega) \epsilon$ که وابستگی آن به بسامد و بردار موج قوی است ، پیامدهای چشمگیری در مورد ویژگیهای فیزیکی جامدات دارد . در حد طول موجهای بلند $(\omega, 0) \epsilon = \epsilon$ ، برانگیختگیهای حجمی و سطحی پلاسمونها و پلاریتونها را توصیف می کند . در حد دیگر $(0, \vec{K}) \epsilon = \epsilon$ ، استثار الکتروستاتیکی بر هم کنشهای الکترون-الکترون ، الکترون-شبکه و الکترون-ناخالصی را توصیف می کند [۱] .

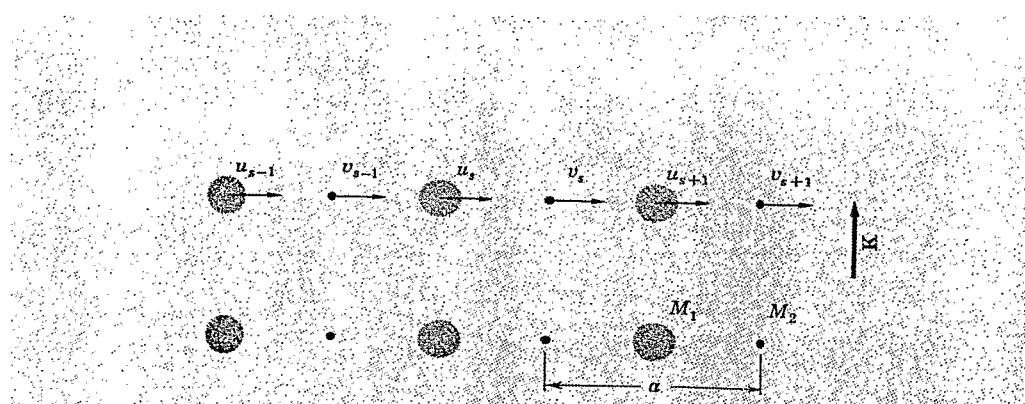
در این فصل پس از بحثی راجع به ارتعاشات شبکه ، به بررسی تابع دی الکتریک ناشی از پلاسمونها با استفاده از مدل درود و تابع دی الکتریک ارتعاشات شبکه قطبی با استفاده از مدل نوسانگر هماهنگ ساده میرای ودادشته می پردازیم . در پایان بحثی کوتاه راجع به پلاریتونهای کپه ای^۱ خواهیم داشت . در توضیح مفاهیم بیان شده ، فرض می کنیم دما یک مقدار ثابتی است و از آثار ناهماهنگ که برخی از ویژگیهای جامدات از قبیل انبساط حرارتی و انتقال صوت ... را توجیه می کنند چشمپوشی می کنیم .

^۱:bulk polaritons

۱-۱. ارتعاشات شبکه یک بعدی با دو اتم در یاخته بسیط

یک بلور مکعبی را در نظر می گیریم که در آن اتمهای با جرم M_1 روی یک مجموعه از صفحات و اتمهای با جرم M_2 روی صفحات واقع در بین صفحات مجموعه اول قرار می گیرند، شکل (۱-۱). اگر دو اتم پایه معادل نباشند، ثابت‌های نیرو یا جرمها متفاوت می‌باشند. در اینجا ما فرض می‌کنیم که جرم اتمها متفاوت می‌باشد و همچنین a فاصله تکرار شبکه در جهت عمود بر صفحات شبکه باشد [۱، ۲].

ما فرض می‌کنیم که هر اتم فقط با همسایه‌های اول خود بر هم کنش می‌کند و ثابت نیرو بین تمام ذوج صفحات اول یکسان می‌باشد. و نیروی وارد بر هر اتم دلخواه از قانون هوک پیروی می‌کند [۳].



شکل (۱-۱): ارتعاش شبکه یک بعدی دو اتمی

اگر جابجایی یونها از محل تعادلشان نسبت به فاصله بین اتمی آنها کوچک باشد، می‌توان در اولین تقریب حرکت جرم‌های اتمی را به عنوان یک حرکت هماهنگ توصیف کرد. از خصوصیات سیستمهای هماهنگ این است که تبادل انرژی میان یک مد ارتعاشی و مد دیگر وجود ندارد و هر مد مستقل از مد دیگر است [۴].

جابجایی اتمهای M_1 را با $v_s, v_{s-1}, \dots, v_{s+1}$ و جابجایی اتمهای M_2 را با $u_s, u_{s-1}, \dots, u_{s+1}$ نشان می‌دهیم. با در نظر گرفتن بر هم کنش همسایه‌های نزدیک هامیلتونی پایه s که جابجایی اتم اول آن M_1, u_s است و اتم دوم آن M_2 است به صورت زیر است،

$$H_s = \frac{1}{2}C(u_s - v_{s-1})^2 + \frac{1}{2}C(u_s - v_s)^2 + \frac{P_s^2}{2M_s} \quad (1-1)$$

C ثابت نیروی بین صفحات است، و P_s تکانه اتمی است که جابجایی آن u_s است، به صورت $P_s = M_s \frac{du_s}{dt}$ بیان می‌شود.

با استفاده از معادله بندادی هامیلتون

$$\frac{dP_s}{dt} = -\frac{\partial H_s}{\partial u_s} \quad (2-1)$$

معادله حرکت اتم با جرم M_1 برابر است با:

$$M_1 \frac{d^2 u_s}{dt^2} = C(v_s + v_{s-1} - 2u_s) \quad (3-1)$$

معادله حرکت اتم با جرم M_2 برابر است با:

$$M_2 \frac{d^2 v_s}{dt^2} = C(u_{s+1} + u_s - 2v_s) \quad (4-1)$$

به دنبال پاسخی به شکل یک موج متحرک می‌گردیم که دامنه آن بر روی صفحات متناویاً

برابر مقادیر متفاوت u و v باشد [۱، ۲].

لذا جواب معادلات (۳-۱) و (۴-۱) را به صورت زیر می‌نویسیم:

$$u_s = u \exp(i(sKa - \omega t)) \quad (5-1)$$

$$v_s = v \exp(i(sKa - \omega t)) \quad (6-1)$$

در این معادلات K بردار موج و ω فاصله بین صفحات است، اندازه فاصله بین صفحات در

یک شبکه معین به جهت K بستگی دارد.

معادلات (۵-۱) و (۶-۱) را در معادلات (۳-۱) و (۴-۱) جایگذاری می‌کنیم، و معادلات زیر را به دست می‌آوریم:

$$(2C - M_1 \omega^2)u - C(1 + e^{-iKa})v = 0 \quad (7-1)$$

$$-C(1 + e^{+iKa})u + (2C - M_2 \omega^2)v = 0 \quad (8-1)$$

این معادلات خطی و همگن ، وقتی پاسخ غیر صفر دارند که دترمینان ضرایب u و v صفر

باشد .

$$\begin{vmatrix} 2C - M_1 \omega^2 & -C(1 + e^{-iKa}) \\ -C(1 + e^{+iKa}) & 2C - M_2 \omega^2 \end{vmatrix} = 0 \quad (9-1)$$

یا

$$M_1 M_2 \omega^4 - 2C(M_1 + M_2)\omega^2 + 2C^2(1 - \cos Ka) = 0 \quad (10-1)$$

حل معادله (10-1) بر حسب ω^2 به معادله زیر منجر می شود [۲، ۱]

$$\omega^2 = \frac{C}{M_1 M_2} \left[M_1 + M_2 \pm \sqrt{M_1^2 + M_2^2 + 2M_1 M_2 \cos Ka} \right] \quad (11-1)$$

حال روی معادله (11-1) در حالات زیر بحث می کنیم :

الف) حالتی که $Ka = \pm\pi$ و $Ka <> 1$ باشد: برای مقادیر خیلی کوچک Ka (در مرکز

منطقه بریلوئن) داریم : $\cos Ka = 1 - 1/2K^2 a^2 + \dots$ بنابراین ریشه ها به صورت زیر خواهند بود ،

$$\omega^2 \cong 2C \left(\frac{1}{M_1} + \frac{1}{M_2} \right) \quad (\text{شاخه اپتیکی}) \quad (12-1)$$

$$\omega^2 \cong \frac{\frac{1}{2}C}{M_1 + M_2} K^2 a^2 \quad (\text{شاخه آکوستیکی}) \quad (13-1)$$

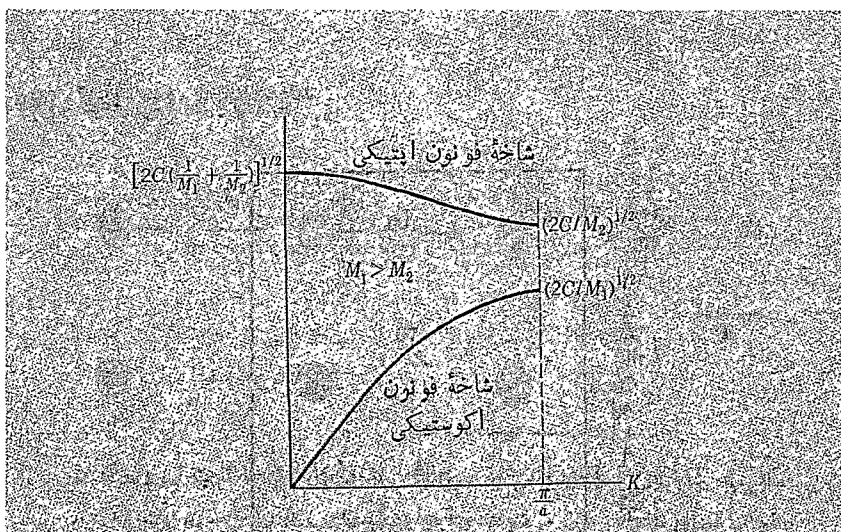
وسعت منطقه اول بریلوئن چنین است $-\frac{\pi}{a} \leq K \leq \frac{\pi}{a}$ ، که در آن a فاصله تکرار شبکه

است . در مرز منطقه $K_{\max} = \pm \frac{\pi}{a}$ ، ریشه ها عبارتند از :

$$\omega^2 = \frac{2C}{M_2} \quad (\text{شاخه اپتیکی}) \quad (14-1)$$

$$\omega^2 = \frac{2C}{M_1} \quad (\text{شاخه آکوستیکی}) \quad (15-1)$$

بستگی ω به K برای $M_1 > M_2$ در شکل (۲-۱) رسم شده است.

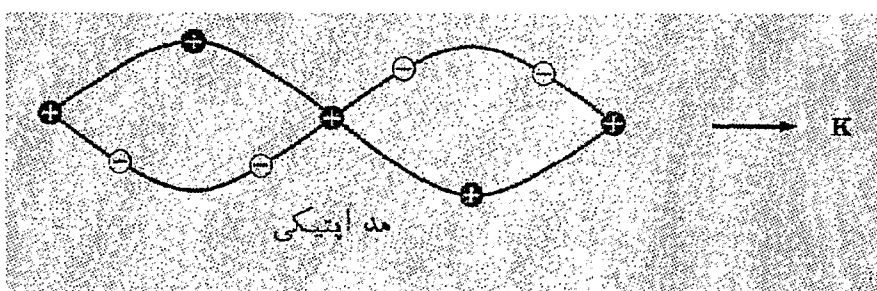


شکل (۲-۱): شاخه های اپتیکی و آکوستیکی رابطه پاشندگی برای یک شبکه خطی دو اتمی

در $K = 0$ برای شاخه اپتیکی با جایگذاری (۱۲-۱) در (۷-۱) یا (۸-۱) به دست می آوریم:

$$\frac{u}{v} = -\frac{M_2}{M_1} \quad (16-1)$$

در این حالت اتمها مخالف یکدیگر ارتعاش می کنند، ولی مرکز جرم آنها ثابت است. اگر دو اتم حامل بارهای مخالف باشند، چنین حرکتی را می توان به کمک میدان الکتریکی یک موج اپتیکی برانگیخت و به این دلیل این شاخه را شاخه اپتیکی می نامند. شکل (۳-۱) جابجایی های ذرات را در شاخه اپتیکی عرضی نمایش می دهد.



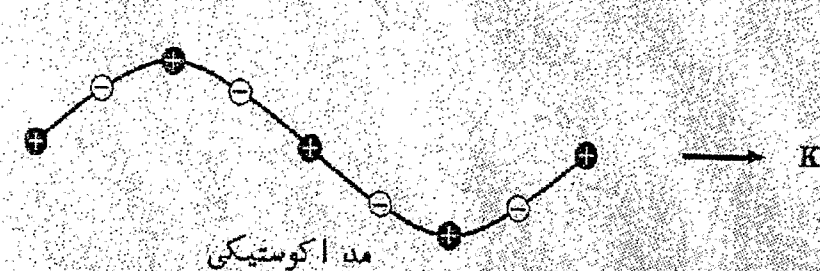
شکل (۳-۱): جابجایی ذرات در مد اپتیکی عرضی در شبکه یک بعدی دو اتمی

در $K=0$ ، برای شاخه آکوستیکی با جایگذاری (۱۳-۱) در (۱-۷) یا (۱-۸) به دست می

آوریم ،

$$\frac{u}{v} = 1 \quad (17-1)$$

در این حالت اتمها مانند ارتعاشات آکوستیکی با طول موج بلند ، با یکدیگر حرکت می کنند ، بنابراین به این دلیل این شاخه آکوستیکی نامیده می شود . شکل (۴-۱) جابجایی ذرات را در شاخه آکوستیکی عرضی نمایش می دهد . از نقطه $0 = K$ با افزایش K منحنی شاخه آکوستیکی به طور خطی افزایش می یابد و رابطه پاشیدگی آن در همسایگی $0 = K$ به فرم $\omega = VK$ (سرعت انتشار موج است) می باشد که مشخصه امواج صوتی است ، شاخه های آکوستیکی وقتی که K به سمت صفرمیل می کند انرژی آنها نیز صفر می شود [۱، ۲].



شکل (۴-۱): جابجایی ذرات در مد آکوستیکی عرضی در شبکه یک بعدی دو اتمی

شاخه های اپتیکی دارای بسامد بالاتری بوده و تقریباً بدون پاشیدگی هستند . یعنی اینکه انرژی آنها چنانچه K تغییر کند ، چندان تغییری نمی کند [۳] .

شکل (۲-۱) نشان می دهد که برای گستره بسامد بین $\left(\frac{2C}{M_2}\right)^{1/2}$ و $\left(\frac{2C}{M_1}\right)^{1/2}$ پاسخهای موج گونه وجود ندارد . این امر مشخصه امواج کشسان در شبکه های چند اتمی است .

بنابراین در مرز منطقه اول بریلوئن $K_{\max} = \pm \frac{\pi}{a}$ یک گاف بسامد وجود دارد . اگر در این ناحیه به دنبال پاسخهای با ω حقیقی باشیم بردار موج K مختلط خواهد شد در نتیجه موج در فضا میرا خواهد شد [۱،۳] .

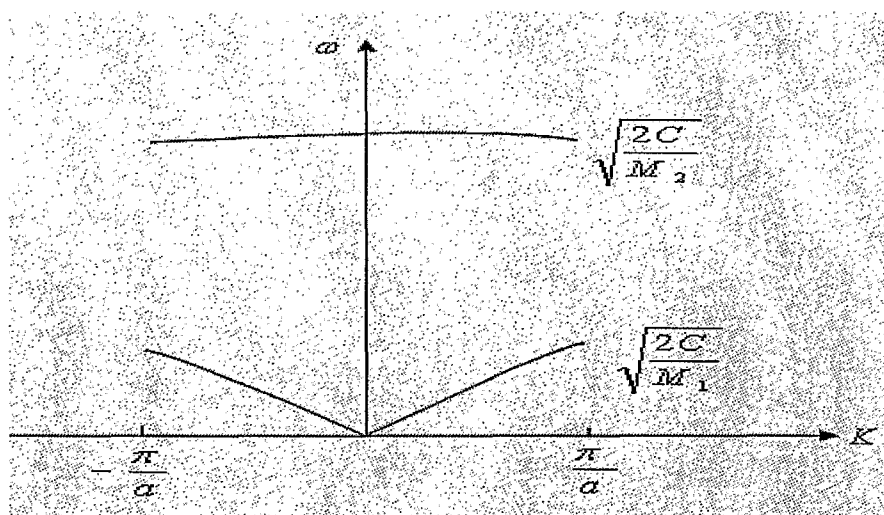
ب) حالتی که $M_1 >> M_2$ می باشد: در این حالت بسط معادله (۱۱-۱) نتایج زیر را به

دنبال دارد ،

$$\omega^2 \approx \frac{2C}{M_1} \sin^2\left(\frac{1}{2}Ka\right) \quad (\text{شاخص آکوستیکی}) \quad (۱۸-۱)$$

$$\omega^2 = \frac{2C}{M_2} \quad (\text{شاخص اپتیکی}) \quad (۱۹-۱)$$

شکل (۱-۵) نمودار ω بر حسب K را برای این حالت در منطقه اول بریلوئن نشان می دهد ،



شکل (۱-۵): نمودار پاشندگی برای شبکه یک بعدی دو اتمی

بنابراین با توجه به معادله (۸-۱) داریم:

$$\frac{u}{v} = -\frac{M_2 \omega^2 - 2C}{C + Ce^{+iKa}} \quad (۲۰-۱)$$

از معادله (۹-۱) به دست می آوریم:

$$|C + Ce^{-iKa}| = \sqrt{(M_1 \omega^2 - 2C)(M_2 \omega^2 - 2C)} \quad (۲۱-۱)$$

حال اگر معادله (۲۱-۱) را در معادله (۲۰-۱) جایگذاری کنیم به دست می آوریم که:

$$\frac{u}{v} = -\frac{M_2 \omega^2 - 2C}{\sqrt{(M_1 \omega^2 - 2C)(M_2 \omega^2 - 2C)}} \quad (22-1)$$

با جایگذاری معادله (۱۸-۱) در معادله (۲۲-۱) برای شاخه آکوستیکی خواهیم داشت:

$$\frac{u}{v} = \frac{4C \cos Ka}{\sqrt{(M_1 \omega^2 - 2C)(M_2 \omega^2 - 2C)}} \quad (\text{شاخه آکوستیکی}) \quad (23-1)$$

طرف راست معادله (۲۳-۱) مثبت است ، بنابراین در حالت آکوستیکی هر دو ذره M_1 و M_2 در یک جهت حرکت می کنند . مثل این است که سلولهای $M_1 + M_2$ با پایه ای که حاوی M_2 دو اتم است با هم حرکت می کنند . چونکه $M_1 + M_2 \cong M_1 >> M_2$ بنابراین $M_1 + M_2 \equiv M_1$ ، مثل این است که در هر نقطه تنها ذره M_1 وجود دارد و تنها این ذره حرکت می کند .

با جایگذاری معادله (۱۹-۱) در معادله (۲۲-۱) برای شاخه اپتیکی خواهیم داشت:

$$\frac{u}{v} = -\frac{2C \left(\frac{M_1}{M_2} - 1 \right)}{\sqrt{(M_1 \omega^2 - 2C)(M_2 \omega^2 - 2C)}} \quad (\text{شاخه اپتیکی}) \quad (24-1)$$

چونکه $M_1 >> M_2$ است ، بنابراین طرف راست معادله (۲۴-۱) منفی است ، پس در حالت اپتیکی دو جرم در جهت خلاف یکدیگر حرکت می کنند . با توجه به اینکه $M_1 >> M_2$ است ، و بسامد حرکت $\omega^2 = \frac{2C}{M_2}$ است ، تنها M_2 حرکت می کند . مثل اینکه جرم M_2 توسط دو فنر به جایی بسته شده است و حرکت نوسانی انجام می دهد [۲] .

۱-۲. کوانتش ارتعاشات شبکه

انرژی ارتعاش شبکه کوانتمی است . کوانتم این انرژی در تشابه با فوتون برای موج الکترومغناطیسی ، فونون نامیده می شود . امواج کشسان در بلورها از فونونها تشکیل شده اند .

ارتعاشات گرمایی در بلورهای فونونهای هستند که به صورت گرمایی بر انگیخته شده اند ، مانند فوتونهای که در تابش الکترومغناطیس جسم سیاه درون یک کاواک به صورت گرمایی بر انگیخته می شوند . انرژی یک مد کشسان با بسامد زاویه ای ω ، هنگامی که این مد تا عدد کوانتمی n برانگیخته شود ، یعنی وقتی با n فونون اشغال شود به صورت زیر است [۵] :

$$\varepsilon_n = \left(n + \frac{1}{2} \right) \hbar \omega \quad (25-1)$$

یک فونون با بردار موج \vec{K} یا ذراتی مانند فوتونها ، نوترونها و الکترونها به گونه ای بر هم کنش می کند که گویی دارای اندازه حرکت $P = \hbar \vec{K}$ است . اما در واقع فونون به جزء حالت ($K = 0$) دارای اندازه حرکت فیزیکی نیست ، زیرا مختصات فونون به مختصات نسبی اتمی بستگی دارد . حالت $K = 0$ انتقال بلور به طور یکجا را نشان می دهد ، چنین حالتی دارای اندازه حرکت است . اندازه حرکت $\hbar \vec{K}$ فونون را گاهی اوقات اندازه حرکت بلوری می نامند [۱] .

تعداد متوسط فونونها در یک مد مقدار ثابتی نیست و به دما بستگی دارد . تعداد متوسط فونونها در دمای تعادل T با استفاده از توزیع پلانک داده می شود [۱] .

$$\langle n \rangle = \frac{1}{e^{\frac{\hbar \omega}{K_B T}} - 1} \quad (26-1)$$

\hbar ثابت پلانک کاهش یافته ؛ ω فرکانس زاویه ای ، K_B ثابت بولتزمن و T دمای . در دمای $T = 0$ ، تعداد فونونها برابر صفر است ، در دماهای بالا به صورت زیر است .

$$\langle n \rangle \approx \frac{K_B T}{\hbar \omega} \quad (27-1)$$

بنابراین تعداد فونونها در یک سیستم پایسته نیست ، این برخلاف الکترونها و فوتونهاست که تعداد آنها پایسته است [۵] .

۱-۳. مدهای نرمال شبکه سه بعدی با پایه چند اتمی